

05.4

О ВОЗМОЖНОСТИ ИСПОЛЬЗОВАНИЯ  
КОАКСИАЛЬНЫХ ЛИНИЙ ИЗ ВТСП ДЛЯ МЕЖСОЕДИНЕНИЙ

Р.А. С у р и с, Н.В. Ф о м и н

Использование высокотемпературных сверхпроводников (ВТСП) в качестве материалов для линий связи и межсоединений в БИС имеет, по-видимому, большие перспективы. Стремление максимально увеличить пропускную способность линий приводит к необходимости работать при все больших и больших частотах электромагнитных сигналов при минимальных поперечных размерах каналов связи. Волноводы из хорошо проводящих обычных металлов удовлетворить этим требованиям уже не могут из-за больших потерь и частотной дисперсии скорости распространения волн. Основным направлением решения этой задачи в настоящее время является ориентация на оптоэлектронику со стекловолоконными линиями.

Цель этого письма – обсудить принципиальные возможности альтернативного варианта (линий из ВТСП-материалов). Мы будем интересоваться только волноводами с внутренней жилой и экраном (типа коаксиального), поскольку перекрестные наводки между неэкранированными каналами связи (полосковыми линиями) существенно ограничивают степень интеграции. Форму поперечного сечения волновода будем считать постоянной вдоль оси распространения, а также не будем учитывать потери, связанные с затуханием волн в диэлектрике и их рассеянием на неоднородностях волновода.

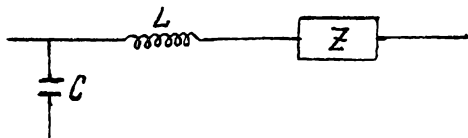
Анализ распространения сигналов в волноводе удобно производить в рамках телеграфного уравнения [1]. Телеграфные уравнения, описывающие распространение сигнала по линии, имеют вид:

$$V = \frac{q}{C}; \quad \frac{\partial J_x}{\partial x} = -\frac{\partial q}{\partial t}; \quad \frac{\partial V}{\partial x} = -\left(L \frac{\partial}{\partial t} + \hat{Z}\right) J_x, \quad (1)$$

где  $J_x$  – X-компонента тока,  $V$  – потенциал, а  $\hat{Z}$  – оператор импеданса. Для бегущей волны  $\sim \exp(ikx - i\omega t)$  из телеграфных уравнений получаем дисперсионное уравнение:

$$k(\omega) = \pm \left\{ \left( \frac{\omega}{c} \right)^2 - i\omega C \hat{Z}(\omega) \right\}^{1/2} \quad (2)$$

С его помощью можно изучать пространственно-временную эволюцию сигналов, распространяющихся по волноводу. Ограничимся рассмотрением такой граничной задачи: пусть  $J_x(x=0, t) = 2\pi j_0 \delta(t)$ . В точке наблюдения X расплывшийся импульс определяется тогда выражением



Эквивалентная электрическая схема участка волновода.  $L$  и  $C$  - распределенные индуктивность и емкость волновода,  $LC = c^2$  (см. [1]),  $Z$  - поверхностный импеданс, в который дают вклад как куперовские пары (индуктивный характер), так и нормальные возбуждения (при рассматриваемых частотах - омический характер).

$$J_x(x, t) = j_0 \int \tilde{I}(ik(\omega)x - i\omega t) d\omega, \quad (3)$$

где корень в (2) выбирается так, что  $\text{Im}k > 0$ , что соответствует затуханию сигналов на бесконечности. Для вычисления интеграла (3) необходимо найти  $Z(\omega)$ . Будем считать радиус внутренней жилы  $r$  (в случае нецилиндрической геометрии - минимальный размер) много большим лондоновской глубины проникновения поля в материал  $\delta_L$ . Действительно, противоположный предел не представляет интереса, поскольку при этом коаксиальный волновод для исследуемых частот и поперечных размеров превращается в обыкновенный с отсечкой и использован быть не может. Поскольку при  $\delta_L \ll r$  ток течет лишь в поверхностном слое толщиной  $\delta \ll \delta_L$ , импеданс определяется выражением

$$Z(\omega) = (2\pi r^* \delta \sigma)^{-1}, \quad (4)$$

где  $(2\pi r^*)^{-1} = p_1^{-1} + p_2^{-1}$ , а  $p_1$  и  $p_2$  - внутренний и внешний периметры сечений стенок волновода,  $\sigma(\omega) = i\sigma_s(\omega) + \sigma_n$  - полная комплексная проводимость сверхпроводящей и нормальной компонент, а  $\delta = [ic^2 / (4\pi\sigma\omega)]^{1/2}$  - соответствующая  $\sigma$  глубина проникновения. Подставляя (4) в (2), получаем (напомним, что  $\sigma_s \sim \omega^{-1}$  и соответственно  $\delta_L$  не зависит от  $\omega$ ):

$$k(\omega) = \frac{\omega}{c} \left[ 1 + \frac{2c\delta L}{r^* \sqrt{1 - \frac{i\omega}{\Omega}}} \right]^{1/2}, \quad (5)$$

где  $\Omega = c^2 / (4\pi\sigma_n \delta_L^2)$ . Вычисляя интеграл (3) при больших  $X$  методом перевала, приходим к

$$J_x(x, t) = \frac{j_0}{\sqrt{\pi} \tau} \exp \left\{ - \left( \frac{x}{c^*} - t \right)^2 / \tau^2 \right\}. \quad (6)$$

Таким образом, импульс тока представляет собой гауссовский пакет, ширина которого дается выражением

$$\tau = \sqrt{\frac{x}{r^*}} \tau_0 \approx \sqrt{\frac{x}{r^*}} \sqrt{\frac{8\pi \epsilon_n C \delta_L^3}{c^3}}, \quad (7)$$

а скорость распространения  $c^* = c / \sqrt{1 + \frac{C \delta_L}{r^*}}$  несколько меньше скорости света. Существенно, что ширина импульса растет с длиной по корневому закону.

Метод перевала корректен при  $\Omega \tau \gg 1$ . При  $\epsilon_n = 10^2$  сим/см,  $\delta_L = 1$  мкм,  $C = 1$  находим  $\Omega \tau_0 = 10$ . Таким образом, импульс приобретает гауссову форму на расстоянии  $x > 10 r^*$ . Последнее условие выполнено с запасом при любой реальной ситуации.

При этих же значениях параметров находим, что  $\tau_0 = 10^{-14}$  с. Задаваясь характерным для прибора временем (оно может определяться временем переключения элементов схемы или тактовой частотой  $\sim \tau_n^{-1}$ )  $\tau_n = 10^{-10}$  с и  $r^* = 1$  мкм, оцениваем максимальную длину линии связи:

$$x_0 = r^* \left( \frac{\tau_n}{\tau_0} \right)^2 = 100 \text{ м}. \quad (8)$$

Обратим внимание на поразительные по сравнению с обычными металлическими волноводами возможности использования сверхпроводящих волноводов при работе на более низких частотах. Так, при характерном времени повторения импульсов  $\tau_n = 10^{-9}$  с и  $r^* = 0.1$  см линия связи может иметь длину

$$x_0 = 10^4 \text{ км}. \quad (9)$$

Обсудим коротко величины  $\epsilon_n$  и  $\delta_L$ . В качестве верхней оценки для  $\epsilon_n$  можно использовать значение проводимости выше точки перехода  $\epsilon_0$ . При низких температурах величина  $\epsilon_n$ , по-видимому, резко падает прежде всего из-за уменьшения концентрации нормальных возбуждений. Так, традиционная теория БКШ предсказывает при  $\exp(\Delta/T) \gg 1$  ( $\Delta$  - сверхпроводящая щель) следующую зависимость:  $\epsilon_n = \epsilon_0 \exp(-\Delta/T)$ . Положим  $T = T_C/2 = 77$  К, тогда экспоненциальный фактор порядка  $1/30$ , что при  $\epsilon_0 = 3 \cdot 10^{13}$  сим/см [3] дает значение  $\epsilon_n = 10^2$  сим/см, использованное выше. Используя известное выражение для глубины проникновения в случае „грязного“ сверхпроводника, т.е. тогда, когда длина когерентности  $\xi$  много больше длины свободного пробега электрона  $l$ , оцениваем:

$$\delta_L = \delta_{L0} \left( \frac{\xi}{l} \right)^{1/2} = \frac{mc^2}{4\pi n e^2} \left( \frac{\pi \hbar}{\Delta \tau_{tr}} \right)^{1/2} = \left[ \frac{\hbar}{\Delta} \frac{c^2}{4\epsilon_0} \right]^{1/2} = 1 \text{ мкм}. \quad (10)$$

Здесь  $\tau_{tr} = l/v_F$  - время свободного пробега электрона.

Работа поддержана научным советом по проблеме ВТСП и выполнена в рамках Государственной программы „Высокотемпературная сверхпроводимость“.

- [1] Л а н д а у Л.Д., Л и ф ш и ц Е.М. Электродинамика сплошных сред. М.: Наука, 1982.
- [2] А б р и к о с о в А.А. Основы теории металлов. М.: Наука, 1987.
- [3] Г о р ь к о в Л.П., К о п н и н Н.Б. // УФН. 1988. Т. 156. В. 1. С. 117-135.

Физико-технический  
институт им. А.Ф. Иоффе  
АН СССР, Ленинград

Поступило в Редакцию  
27 сентября 1989 г.

Письма в ЖТФ, том 15, вып. 24

26 декабря 1989 г.

11

## К ТЕОРИИ ВТОРИЧНОЙ ИОННОЙ ЭМИССИИ МЕТАЛЛОВ

А.Г. Б о р и с о в, И.Ф. У р а з г и л ь д и н

Бомбардировка поверхности твердого тела ионным пучком сопровождается распылением частиц, покидающих поверхность в различных зарядовых состояниях. Исследование процессов формирования зарядового состояния вторичных частиц является важной задачей физики взаимодействия атомных частиц с твердым телом, представляющей большой практический интерес для диагностики поверхности.

Теоретические модели, описывающие резонансную перезарядку отлетающего иона с невозмущенной поверхностью, дают следующую зависимость для вероятности ионизации от нормальной к поверхности составляющей скорости иона  $v_{\perp}[1]$ :

$$P^+ \sim \exp(-v_0/v_{\perp}) \quad (1)$$

$v_0$  - параметр. Формула получена в предположении бесконечной ширины валентной зоны в металле. Как было экспериментально установлено [2], формула (1) не описывает поведение  $P^+(E)$  в области малых энергий отлетающих частиц. Кроме того, при качественном совпадении теории и эксперимента в области энергий, отвечающих экспоненциальной зависимости (1), теория дает существенно завышенное значение для  $P^+$  (на 2-3 порядка).

Рядом авторов показано, что отличие по форме между экспериментальными и теоретическими зависимостями  $P^+(E)$  может быть уменьшено при учете: а) зависимости скорости отлетающей частицы от расстояния до поверхности [3]; б) конечного времени диффузии электрона в твердом теле [4]. Однако эти модели не устраняют расхождения в порядке величин.